

Aus dem Zoologischen Forschungsinstitut und Museum A. Koenig Bonn

Die *Myrsidea*-Arten (Amblycera: Phthiraptera) von *Corvus tristis* und *Corvus fuscicapillus*

von

HEINRICH KLOCKENHOFF

Im Rahmen einer Revision der Gattung *Myrsidea* Waterston, 1915 von Rabenvögeln (Corvidae) untersuchte ich 32 Federlinge von *Corvus tristis* Lesson & Garnot, 1827 aus Neuguinea, 7 Federlinge von *Corvus fuscicapillus* Gray, 1859 von Waigeu und den Aru-Inseln, sowie drei *Myrsidea*-Exemplare der Piaget-Sammlung.

Dr. T. Clay und Herrn C. H. C. Lyal (British Museum, Nat. Hist.), London, sowie Dr. K. C. Emerson (Arlington, USA) und Dr. J. Tenorio (Bishop Museum, Honolulu) danke ich für die Bereitstellung des Materials.

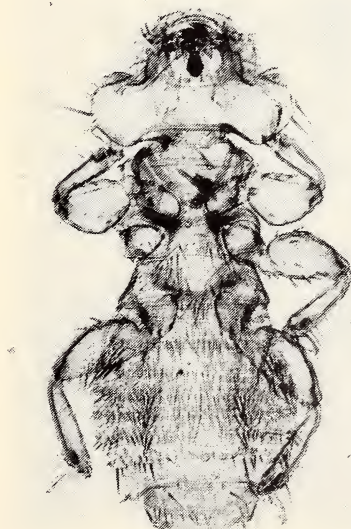


Abb. 1: *Myrsidea pilosa*, Lectotypus ♀

Bei den von *Corvus tristis* aus Neu-Guinea gesammelten Federlingen handelt es sich um zwei *Myrsidea*-Arten, die — vor allem nach der Ausbildung des männlichen Genitale zu urteilen — unterschiedlichen Gruppen dieser Gattung angehören (vgl. Clay 1966 u. Klockenhoff 1969). Fünf ♀ konnten durch einen Vergleich mit dem Lectotypus (♀) von *Myrsidea pilosa* (Piaget, 1880) dieser Art zugeordnet werden, die im folgenden neu umgrenzt wird.

Ein Vergleich der übrigen 13 ♀ mit den bisher bekannten Taxa der Gattung *Myrsidea* ergab deutliche artspezifische Unterschiede, die die Beschreibung als neue Art (*Myrsidea tristicola*) verlangen. Dieser neuen Art entsprechen auch die Myrsideen Nr. 783 (1 ♂ u. 1 ♀) der Piaget-Sammlung (vgl. Clay 1949).

Die 13 *Myrsidea* ♂ werden aufgrund der Ausbildung und Beborstung der Metasternalplatten und der Abdominalsternite I u. II, sowie der abdominalen Beborstung den entsprechenden ♀ zugeordnet. Danach gehört *Myrsidea pilosa* nicht — wie ich 1977 (S. 146) vermutete — der „*Myrsidea grandiceps*-Gruppe“ an. Ein weiteres ♂ (Meinertzhagen Coll. 4054) entspricht keiner dieser beiden *Myrsidea*-Arten von *Corvus tristis* (s. Abb. 13 u. 14); ob es *Myrsidea robsoni* (Cummings, 1914) angehört (vgl. Klockenhoff 1972), kann anhand dieses Einzelexemplares nicht geklärt werden.

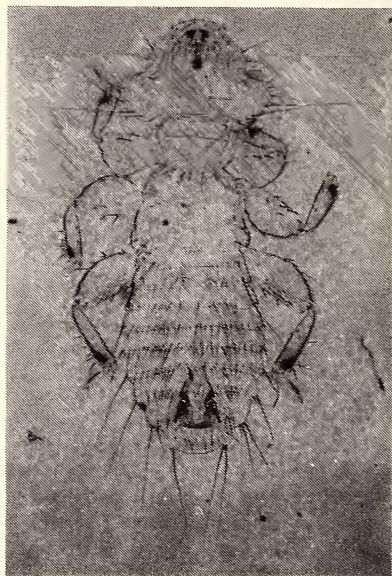


Abb. 2: *Myrsidea pilosa* ♂

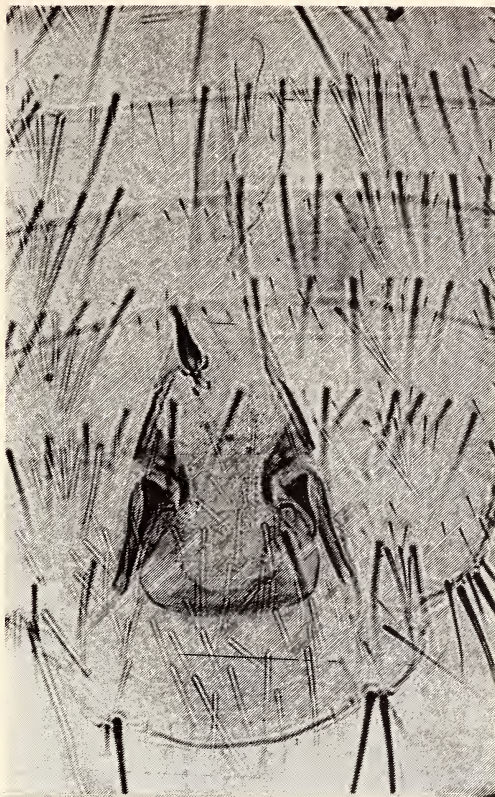


Abb. 3: *Myrsidea pilosa* ♂, Genitalregion

1. *Myrsidea pilosa* (Piaget, 1880)

Menopon pilosum Piaget, 1880; S. 432, Tafel 23, Abb. 9 (vgl. Clay 1949 und Hopkins & Clay 1952).

Wirt: *Corvus tristis* Lesson & Garnot, 1827

Material: Lectotypus ♀, Piaget Coll. Nr. 783 (im Brit. Mus.); 4 ♂ u. 5 ♀, Vogelkop, Neth. Guinea, 4—31.—I—62, BBN—NG 794, K. C. Emerson Coll.; 2 ♂, Nabire, New Guinea, 29. Sept. N. Wilson colr., BBM—NG 21832, Bishop Museum.

Myrsidea pilosa (s. Abb. 1 u. 2) ist charakterisiert durch die Form und Beborstung des Thorax und der ersten Abdominaltergite der ♀, der Metasternalplatten und der Abdominalsternite I u. II (♂ u. ♀), die abdominale Beborstung sowie die Form des männlichen Genitale.

Der Thorax der ♀ zeigt eine deutliche Gliederung in Pro-, Mesothorax und Metathorax. Der Mesothorax ist auffallend stark entwickelt und trägt an seinem Hinterrand 5—11 lange Borsten. Das Metanotum ist nicht verlängert; die Pleurite des Metathorax sind mit zahlreichen kurzen Setae besetzt (Abb. 4). Die Abdominaltergite I und III—V der ♀ und I und V der ♂ tragen keine bzw. sehr kurze Postspirakularborsten (s. Abb. 4 u. 5). Die Metasternalplatten sind voll entwickelt; die Abdominalsternite I sind bei ♂ und ♀ beborstet, den Abdominalsterniten II fehlen bei ♂ und ♀ die charakteristischen Stachelhügel (s. Abb. 6 u. 7).

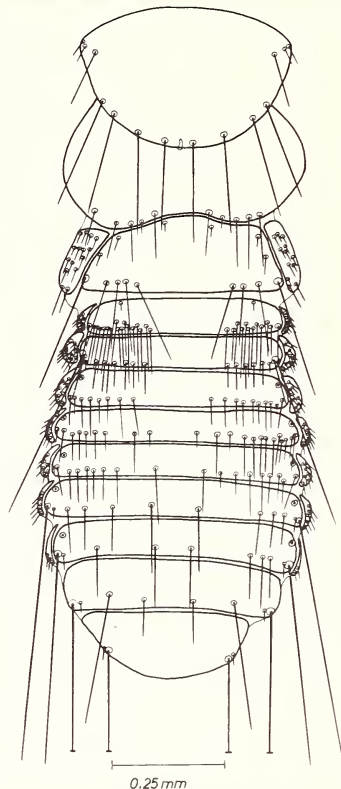


Abb. 4: *Myrsidea pilosa* ♀, Thorax u. Abdomen (dorsal)

Das männliche Genitale entspricht weitgehend (s. Abb. 3) dem *Myrsidea-shirakii*-Typ (vgl. Klockenhoff 1969); das Hypopharyngealsklerit gleicht dem von *M. anaspila* (s. Klockenhoff u. Schirmers 1976, Abb. 13). Weitere Merkmale sind in den nachstehenden Tabellen (1 u. 2) zusammengefaßt.

Tabelle 1: Körpermaße (in mm) von *Myrsidea pilosa*

$\delta : n = 6$	\bar{x}		s		VB	
$\varphi : n = 6$	δ	φ	δ	φ	δ	φ
Caput-Länge	0,37	0,41	0,015	0,007	0,34–0,39	0,40–0,42
Caput-Breite	0,52	0,60	0,013	0,017	0,49–0,53	0,57–0,61
Prothorax-Länge	0,20	0,31	0,014	0,029	0,18–0,22	0,28–0,36
Prothorax-Breite	0,33	0,45	0,005	0,023	0,32–0,34	0,41–0,48
Pterothorax-Länge	0,27	0,41	0,016	0,050	0,24–0,28	0,31–0,44
Pterothorax-Breite	0,43	0,52	0,020	0,038	0,39–0,44	0,45–0,56
Abdomen-Länge	0,74	0,82	0,023	0,068	0,72–0,77	0,69–0,87
Abdomen-Breite	0,53	0,61	0,011	0,019	0,52–0,55	0,59–0,64
Gesamtlänge	1,49	1,82	0,091	0,108	1,40–1,55	1,60–1,88
Caput-Index	1,41	1,45	0,035	0,034	1,43–1,44	1,40–1,47

Beborstung

1. Anzahl der Gula Setae

$\delta : \bar{x} = 7,50$ s = 1,048 VB = 6–9 n = 6
 $\varphi : \bar{x} = 8,17$ s = 1,169 VB = 6–9 n = 6

2. Anzahl der Setae am Pronotum-Hinterrand

$\delta : \bar{x} = 7,83$ s = 0,408 VB = 7–8 n = 6
 $\varphi : \bar{x} = 8,00$ s = 0,000 VB = (8) n = 6

3. Anzahl der Setae am Mesonotum-Hinterrand

$\varphi : \bar{x} = 7,60$ s = 2,607 VB = 5–11 n = 5

4. Anzahl der Setae am Metanotum-Hinterrand

$\delta : \bar{x} = 8,50$ s = 2,073 VB = 6–11 n = 6
 $\varphi : \bar{x} = 8,00$ s = 2,121 VB = 6–11 n = 5

5. Anzahl der Setae der Metasternalplatten

$\delta : \bar{x} = 16,83$ s = 3,656 VB = 12–21 n = 6
 $\varphi : \bar{x} = 26,17$ s = 3,544 VB = 20–30 n = 6

6. Anzahl der bürstenförmig angeordneten Setae am Femur III

$\delta : \bar{x} = 27,78$ s = 2,108 VB = 25–32 n = 9
 $\varphi : \bar{x} = 25,78$ s = 1,922 VB = 22–29 n = 9

7. Beborstung des Abdomens: s. Tabelle 2a–c.

Tabelle 2: Beborstung des Abdomens von *Myrsidea pilosa*

Tabelle 2a: Anzahl der tergalen Setae

Tergit	♂	n♀	♂	\bar{x}	♀	♂	s	♀	♂	VB	♀
I	6	6	17,33	23,50	2,732	4,324			15-21	18-31	
II	6	6	19,33	17,50	2,804	3,391			16-23	13-21	
III	6	6	21,17	16,00	2,786	4,604			18-25	12-23	
IV	6	6	22,33	19,17	1,751	3,970			21-25	15-24	
V	6	6	22,00	19,33	2,190	2,875			19-25	17-25	
VI	6	6	22,17	15,33	2,401	4,457			18-25	10-22	
VII	6	6	18,50	12,17	2,428	3,816			15-22	9-18	
VIII	6	6	11,83	8,00	1,471	0,000			10-14		8

Tabelle 2b: Anzahl der sternalen Setae

Sternit	♂	n♀	♂	\bar{x}	♀	♂	s	♀	♂	VB	♀
III	6	6	35,83	38,00	4,875	5,966			28-41	32-48	
IV	6	6	43,50	52,17	4,415	6,645			38-49	46-64	
V	6	6	46,00	46,33	3,577	10,385			40-50	38-66	
VI	6	6	46,50	39,50	3,728	7,993			43-52	33-53	
VII	6	6	39,50	30,17	3,563	3,920			36-45	25-35	
VIII+IX	6	6	65,50	35,33	6,284	2,065			58-75	33-38	
Vulva	-	5	-	14,00	-	0,707			-	13-15	

Tabelle 2c: Anzahl der pleuralen Setae

Pleurit	♂	n♀	♂	\bar{x}	♀	♂	s	♀	♂	VB	♀
III	9	9	13,67	33,55	2,291	3,431			11-18	29-39	
IV	10	9	16,50	36,33	2,415	2,915			13-20	32-40	
V	12	9	16,33	29,33	3,143	4,330			11-21	24-37	
VI	12	9	16,83	21,00	2,823	2,828			12-22	18-22	
VII	11	9	12,91	12,67	1,221	1,870			11-15	10-16	
VIII	12	9	7,33	3,55	1,775	1,013			6-11	3-6	

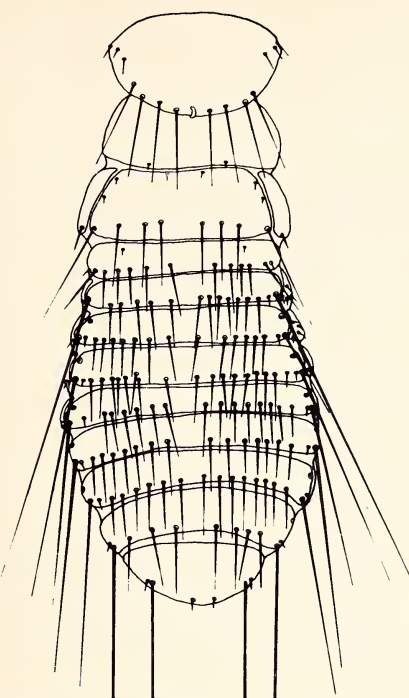


Abb. 5: *Myrsidea pilosa* ♂, Thorax u. Abdomen (dorsal)

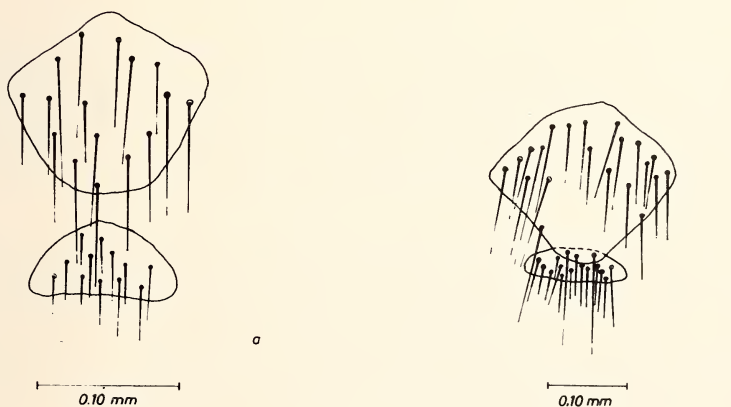


Abb. 6: *Myrsidea pilosa*, a: ♂ u. b: ♀,
Metasternalplatte u. Abdominalsternit I

In diesen und den nachfolgenden Tabellen bedeuten \bar{x} = Mittelwert, s = Streuung, VB = Variationsbreite und n = Anzahl der Messungen. Die Zeichnungen wurden nach Totalpräparaten angefertigt, fehlende oder abgebrochene Borsten wurden sinngemäß ergänzt.

2. *Myrsidea tristicola* n. sp.

Wirt: *Corvus tristis* Lesson & Garnot, 1827

Material: Holotypus ♀, Vogelkop, Neth. Guinea, 4.—31. Jan. 1962, L. W. Quate colr., BBM—NG 794 a, K. C. Emerson Coll. Paratypen: 2 ♂, gleiche Daten wie Holotypus; 5 ♂ u. 3 ♀, Nabire, New Guinea, 29. Sept. 1962, N. Wilson colr., BBN—NG 21832, Bishop Museum, 9 ♀, New Guinea, Meinertzhausen Coll. 4020 u. 4054 (im Brit. Mus.) und 1 ♂ u. 1 ♀, Piaget Coll. Nr. 783 (im Brit. Mus.).

Myrsidea tristicola (Abb. 8) ist charakterisiert durch die Form und Beborstung des Metanotum und der ersten Abdominaltergite (♀), der Metasternalplatten und der Abdominalsternite I u. II (♂ u. ♀), die abdominale Beborstung, sowie des männlichen Genitalsklerits.

Der Metathorax des ♀ ist auffallend stark entwickelt, sein Notum überlappt den vorderen Teil des unbeborsteten Abdominaltergits I und trägt an seinem Hinterrand 40—52 Setae; das Notum trägt charakteristische Borstenfelder mit je 13—20 kurzen Borsten. Bei den ♀ sind die Postspirakularborsten der Tergite II, III und V, bei den ♂ die die Tergite I, III und V auffallend kurz. (s. Abb. 9 u. 10).

Die Metasternalplatten sind charakteristisch ausgebildet; die Abdominalsternite I sind bei ♂ und ♀ unbeborstet, die Abdominalsternite II besitzen an den hinteren Ecken die typischen Stachelhügel (s. Abb. 11 u. 12). Der Hypopharynx ist voll entwickelt und ähnelt dem von *Myrsidea coloiopsis* (vgl. Klockenhoff 1977, Abb. 5). Das männliche Genitale entspricht dem *Myrsidea grandiceps*-Typ (vgl. Klockenhoff 1969, Abb. 35).

Weitere Merkmale sind in den nachstehenden Tabellen zusammengefaßt.

Tabelle 3: Körpermaße (in mm) von *Myrsidea tristiscola*

$\delta : n = 6$	\bar{x}	s	δ	s	δ	VB	δ	s
$\varphi : n = 13$	\bar{x}	s	φ	s	φ	VB	φ	s
Caput-Länge	0,33	0,37	0,013	0,010	0,30–0,34	0,34–0,39		
Caput-Breite	0,52	0,62	0,009	0,016	0,51–0,57	0,60–0,64		
Prothorax-Länge	0,20	0,27	0,015	0,021	0,18–0,22	0,23–0,30		
Prothorax-Breite	0,33	0,49	0,012	0,033	0,31–0,34	0,46–0,59		
Pterothorax-Länge	0,25	0,38	0,022	0,045	0,21–0,28	0,32–0,49		
Pterothorax-Breite	0,41	0,69	0,012	0,040	0,40–0,43	0,64–0,77		
Abdomen-Länge	0,69	0,59	0,070	0,099	0,62–0,80	0,50–0,80		
Abdomen-Breite	0,49	0,57	0,019	0,024	0,47–0,52	0,54–0,61		
Gesamtlänge	1,38	1,45	0,088	0,146	1,30–1,51	1,30–1,79		
Caput-Index	1,60	1,70	0,068	0,032	1,54–1,72	1,63–1,74		

Beborstung**1. Anzahl der Gula-Setae**

$\delta : \bar{x} = 10,28$ $s = 0,487$ $VB = 10-11$ $n = 7$
 $\varphi : \bar{x} = 10,62$ $s = 0,860$ $VB = 10-13$ $n = 13$

2. Anzahl der Setae am Pronotum-Hinterrand

$\delta : \bar{x} = 8,28$ $s = 0,487$ $VB = 8-9$ $n = 7$
 $\varphi : \bar{x} = 12,46$ $s = 1,130$ $VB = 10-14$ $n = 13$

3. Anzahl der Setae am Metanotum-Hinterrand

$\delta : \bar{x} = 11,28$ $s = 1,112$ $VB = 9-12$ $n = 7$
 $\varphi : \bar{x} = 45,18$ $s = 4,094$ $VB = 40-52$ $n = 11$

4. Anzahl der Setae der metanotalen Borstenfelder

$\varphi : \bar{x} = 31,50$ $s = 6,886$ $VB = 20-40$ $n = 11$

5. Anzahl der Setae der Metasternalplatten

$\delta : \bar{x} = 14,43$ $s = 1,511$ $VB = 12-17$ $n = 7$
 $\varphi : \bar{x} = 20,23$ $s = 2,278$ $VB = 17-24$ $n = 13$

6. Anzahl der bürstenförmig angeordneten Setae am Femur III

$\delta : \bar{x} = 21,27$ $s = 1,420$ $VB = 19-28$ $n = 11$
 $\varphi : \bar{x} = 24,62$ $s = 1,745$ $VB = 21-28$ $n = 21$

7. Beborstung des Abdomens: s. Tabelle 4a-c.

Tabelle 4: Beborstung der Abdomens von *Myrsidea tristiscola*

Tabelle 4a: Anzahl der tergalen Setae

Tergit	♂	n	♀	♂	\bar{x}	♀	♂	s	♀	♂	VB	♀
I	7	13		16,43		—	1,511		—	14-18		—
II	7	7		16,14	4,00		1,951	0,000		13-18	(4)	
III	7	9		18,71	7,89		1,253	1,269		17-20	6-10	
IV	7	12		19,86	11,58		1,676	1,676		18-23	9-14	
V	7	12		21,00	12,83		1,414	1,749		19-22	9-15	
VI	7	13		20,86	11,92		1,573	1,497		18-22	10-15	
VII	7	13		19,86	10,15		1,345	1,625		18-22	8-13	
VIII	7	13		15,13	8,23		0,640	0,438		14-16	8-9	

Tabelle 4b: Anzahl der sternalen Setae

Sternit	♂	n	♀	♂	\bar{x}	♀	♂	s	♀	♂	VB	♀
III	7	12		25,43	16,67		3,952	2,146		20-30	14-20	
IV	7	12		34,28	27,83		5,186	5,356		28-43	18-34	
V	7	12		38,71	34,50		3,903	5,317		36-47	24-41	
VI	7	12		38,86	33,92		4,874	3,752		34-48	28-40	
VII	7	12		34,00	28,58		3,651	2,574		29-38	25-34	
VIII+IX	7	11		26,29	33,27		3,683	3,379		21-30	27-39	
Vulva	—	10		—	16,20		—	2,859		—	14-22	

Tabelle 4c: Anzahl der pleuralen Setae

Pleurit	♂	n	♀	♂	\bar{x}	♀	♂	s	♀	♂	VB	♀
III	11	8		5,82	7,75		0,404	1,488		5-6	6-10	
IV	12	12		5,67	6,58		0,778	0,792		4-7	5-8	
V	12	21		6,08	6,71		0,900	1,230		5-8	5-9	
VI	13	21		5,92	5,67		0,640	0,856		5-7	4-8	
VII	13	23		5,31	4,48		0,751	0,730		4-7	4-6	
VIII	13	22.		3,31	3,05		0,480	0,213		3-4	3-4	

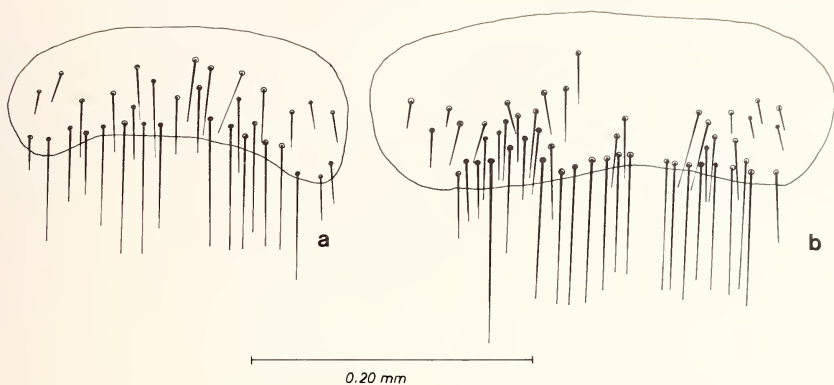


Abb. 7

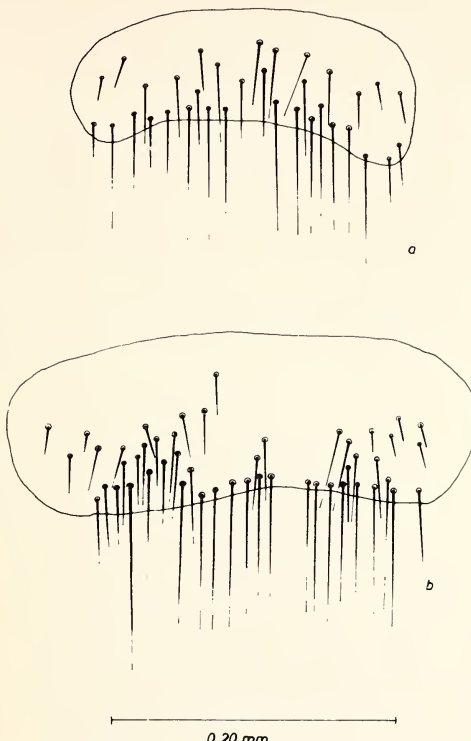


Abb. 7: *Myrsidea pilosa*, a: ♂ u. b: ♀, Abdominalsternit II

3. *Myrsidea fuscicapilla* n. sp.

Wirt: *Corvus fuscicapillus* Gray, 1859

Material: Holotypus ♀, Waigeu, Meinertzhangen Coll. 4053; 2 ♂ u. 1 ♀, gleiche Daten wie Holotypus und 2 ♂ u. 1 ♀, Aru Is., Brit. Mus. 1970—596.

Myrsidea fuscicapilla (Abb. 15 u. 16) ist charakterisiert durch die Ausbildung und Beborstung des Thorax und der ersten Abdominaltergite, der Metasternalplatten und der Abdominalsternite I und II der ♀.

Der Thorax ist auffallend stark ausgebildet. Die Pleurite des Metathorax tragen lange, endständige Borsten, sein Natum ist caudad verlängert und überragt den vorderen Teil des ersten Abdominaltergits. Die beiden ersten Tergite sind nicht deutlich voneinander getrennt und — wie auch die übrigen Tergite — nur spärlich beborstet. Dem ersten Abdominaltergit fehlt die charakteristische Postspirakularborste, die des Tergits II ist auffallend kurz (s. Abb. 17).

Zwischen diesen von *Corvus fuscicapillus* gesammelten *Myrsidea*-♂ (s. Abb. 18) und -♀ gibt es sowohl in der abdominalen Beborstung, als auch in Form von Beborstung der Metasternalplatten und der Abdominalsternite I und II erhebliche Unterschiede (s. Abb. 19 u. 20).

Da ♂ und ♀ sowohl auf Waigeu als auch auf Aru auf der gleichen Wirtsart festgestellt wurden, und bisher keine anderen Myrsideen von *Corvus fuscicapillus* bekannt sind, werden sie (zunächst) als ♂ und ♀ einer Art angesehen. Die Ausbildung des Genitalsklerits der ♂ gleicht dem *Myrsidea-shirakii*-Typus (vgl. Klockenhoff 1969).

Die Angaben zu Körpermaßen und Beborstung sind nachstehend aufgeführt.

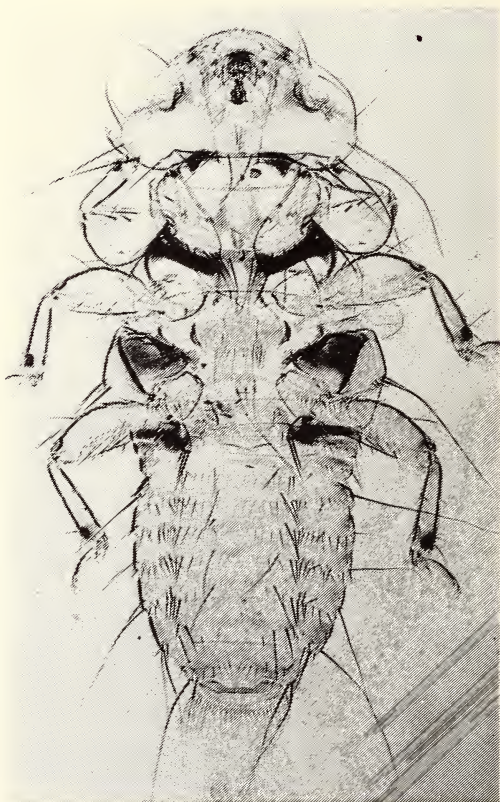


Abb. 8: *Myrsidea tristicola*, Holotypus ♀

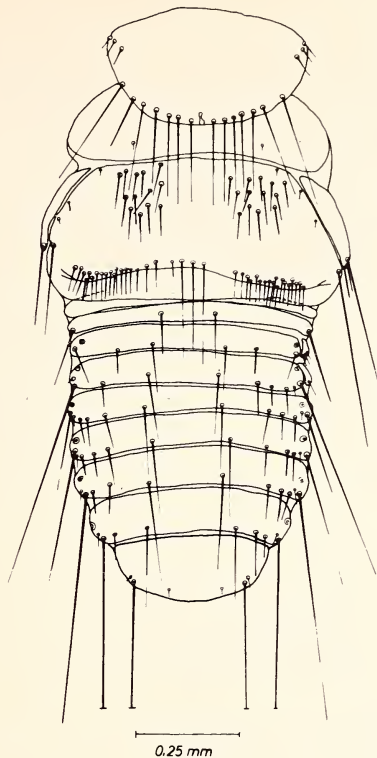


Abb. 9: *Myrsidea tristicola* ♀,
Thorax u. Abdomen (dorsal)

Körpermaße (in mm):

Caput-Länge ♂ (n = 4) : $\bar{x} = 0,35$; s = 0,004; VB = 0,34—0,35. ♀ (n = 3) : $\bar{x} = 0,34$; s = 0,001; VB = 0,341—0,342. Caput-Breite ♂ (3) : $\bar{x} = 0,50$; s = 0,005; VB = 0,49—0,51. ♀ (3) : $\bar{x} = 0,57$; s = 0,019; VB = 0,55—0,59. Prothorax-Länge ♂ (4) : $\bar{x} = 0,18$; s = 0,009; VB = 0,17—0,19. ♀ (3) : $\bar{x} = 0,23$; s = 0,014; VB = 0,22—0,25. Prothorax-Breite ♂ (4) : $\bar{x} = 0,33$; s = 0,008; VB = 0,32—0,34. ♀ (3) : $\bar{x} = 0,39$; s = 0,012; VB = 0,38—0,40. Pterothorax-Länge ♂ (4) : $\bar{x} = 0,25$; s = 0,014; VB = 0,23—0,26. ♀ (3) : $\bar{x} = 0,49$; s = 0,086; VB = 0,45—0,58. Pterothorax-Breite ♂ (4) : $\bar{x} = 0,43$; s = 0,009; VB = 0,41—0,44. ♀ (3) : $\bar{x} = 0,64$; s = 0,010; VB = 0,63—0,65. Abdomen-Länge ♂ (4) : $\bar{x} = 0,56$; s = 0,027; VB = 0,54—0,59. ♀ (3) : $\bar{x} = 0,62$; s = 0,050; VB = 0,56—0,66. Abdomen-Breite ♂ (4) : $\bar{x} = 0,52$; s = 0,004; VB = 0,51—0,52. ♀ (3) : $\bar{x} = 0,64$; s = 0,038; VB = 0,61—0,68. Gesamtlänge ♂ (4) : $\bar{x} = 1,20$; s = 0,018; VB = 1,18—1,23. ♀ (3) : $\bar{x} = 1,47$; s = 0,118; VB = 1,40—1,56. Caput-Index ♂ (4) : $\bar{x} = 1,44$; s = 0,021; VB = 1,42—1,47. ♀ (3) : $\bar{x} = 1,67$; s = 0,068; VB = 1,59—1,72.

Beborstung:

1. Anzahl der Setae an der Gula ♂ (n = 4) : $\bar{x} = 12$, s = 0,00. ♀ (n = 3) : $\bar{x} = 9$, s = 0,00. 2. Anzahl der Setae am Pronotum-Hinterrand ♂ (4) : $\bar{x} = 8$, s = 0,00. ♀ (3) : $\bar{x} = 8$, s = 0,00; 3. Anzahl der Setae am Metanotum-Hinterrand ♂ (4) : $\bar{x} = 14,00$; s = 0,816; VB = 13—14. ♀ (3) : $\bar{x} = 10,67$; s = 1,15; VB = 10—12; 4. Anzahl der Setae der Metasternalplatten ♂ (3) : $\bar{x} = 11,67$; s = 3,214; VB = 8—14. ♀ (3) : $\bar{x} = 15,67$; s = 1,527; VB = 14—17; 5. Anzahl der bürstenförmig angeordneten Setae am Femur III ♂ (3) : $\bar{x} = 24,00$; s = 2,645; VB = 22—27. ♀ (5) : $\bar{x} = 16,60$; s = 1,140; VB = 15—18; 6. Abdominale Beborstung; a) Anzahl der tergalen Setae: Tergit I ♂ (4) : $\bar{x} = 19,00$; s = 2,581; VB = 16—22. ♀ (3) : $\bar{x} = 6$; s = 0,00; II ♂ (4) : $\bar{x} = 18,25$; s = 1,707; VB = 16—20. ♀ (3) : $\bar{x} = 8$; s = 0,00; III ♂ (4) : $\bar{x} = 19,75$; s = 2,217; VB = 18—23. ♀ (3) : $\bar{x} = 8,33$; s = 0,577; VB = 8—9; IV ♂ (4) : $\bar{x} = 20,25$; s = 1,25; VB = 19—22. ♀ (3) : $\bar{x} = 12$; s = 0,00; V ♂ (4) : $\bar{x} = 22,75$; s = 0,957; VB = 22—24. ♀ (3) : $\bar{x} = 15,67$; s = 1,527; VB = 14—17; VI ♂ (4) : $\bar{x} = 22,25$; s = 2,500; VB = 19—25. ♀ (3) : $\bar{x} = 13,00$; s = 1,000; VB = 12—14; VII ♂ (4) : $\bar{x} = 18,50$; s = 2,380; VB = 15—20. ♀ (3) : $\bar{x} = 10,00$;

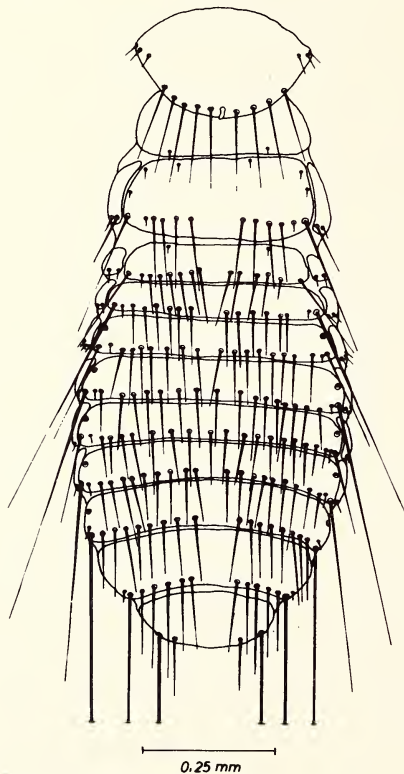


Abb. 10: *Myrsidea tristicola* ♂,
Thorax u. Abdomen (dorsal)

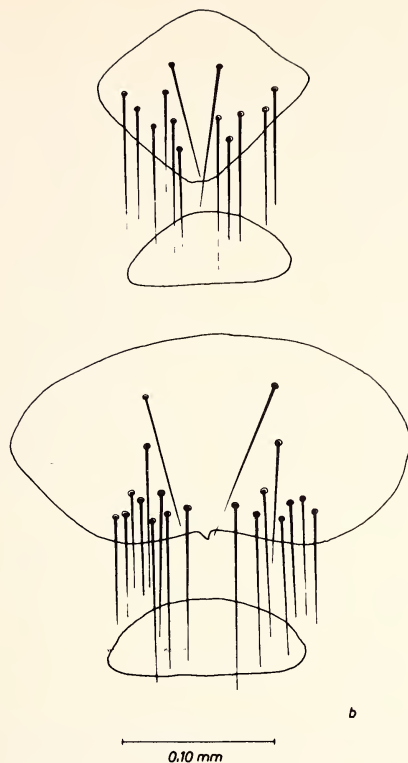


Abb. 11: *Myrsidea tristicola*, a: ♂ u. b: ♀,
Metasternalplatte u. Abdominalsternit I

s = 3,464; VB = 8—14; VIII ♂ (4) : \bar{x} = 13,25; s = 2,500; VB = 10—16.
 ♀ (3) : \bar{x} = 8; s = 0,00. b) Anzahl der sternalen Setae: Sternit III ♂ (4) :
 \bar{x} = 25,75; s = 3,403; VB = 21—29. ♀ (3) : \bar{x} = 22,00; s = 7,810; VB =
 17—31; IV ♂ (3) : \bar{x} = 38,00; s = 1,732; VB = 36—39. ♀ (3) : \bar{x} = 23,33;
 s = 5,773; VB = 20—30; V ♂ (4) : \bar{x} = 41,25; s = 2,362; VB = 38—43.
 ♀ (3) : \bar{x} = 23,33; s = 3,214; VB = 21—27; VI ♂ (4) : \bar{x} = 40,25; s =
 2,872; VB = 36—42. ♀ (3) : \bar{x} = 29,67; s = 3,214; VB = 26—32; VII ♂ (4) :
 \bar{x} = 34,00; s = 3,162; VB = 31—38. ♀ (3) : \bar{x} = 24,67; s = 3,055; VB =
 22—28; VIII+IX ♂ (4) : \bar{x} = 42,25; s = 7,500; VB = 34—50. ♀ (3) : \bar{x} =
 29,33; s = 7,023; VB = 22—36. c) Anzahl der pleuralen Setae: Pleurit III
 ♂ (7) : \bar{x} = 8,57; s = 1,397; VB = 7—11. ♀ (6) : \bar{x} = 3; s = 0,00; IV ♂
 (8) = 10,125; s = 1,642; VB = 8—13. ♀ (4) : \bar{x} = 5,75; s = 0,500; VB =
 5—6; V ♂ (8) : \bar{x} = 11,63; s = 1,767; VB = 10—15. ♀ (4) : \bar{x} = 5,50;
 s = 0,577; VB = 5—6; VI ♂ (8) : \bar{x} = 11,50; s = 0,925; VB = 10—12.
 ♀ (4) : \bar{x} = 6; s = 0,00; VII ♂ (8) : \bar{x} = 10,00; s = 0,925; VB = 9—12.
 ♀ (5) : \bar{x} = 4,20; s = 1,303; VB = 3—6; VIII ♂ (8) : \bar{x} = 6,75; s = 0,886;
 VB = 6—8. ♀ (5) : \bar{x} = 2,40; s = 0,547; VB = 2—3.

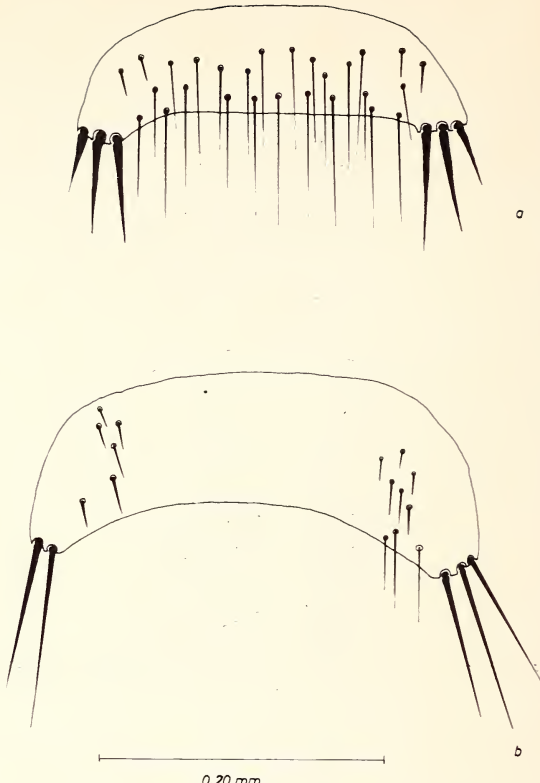


Abb. 12: *Myrsidea tristicola*, a: ♂ u. b: ♀,
Abdominalsternit II

Zusammenfassung

Untersucht wurden Tierläuse (Phthiraptera) der Gattung *Myrsidea* Waterston 1915 von *Corvus tristis* aus Neu-Guinea und *Corvus fuscicapillus* von Waigeu und den Aru-Inseln. Neben der Federlingsart *Myrsidea pilosa* (Piaget, 1880), die neu umgrenzt wird, werden zwei Arten neu beschrieben: *Myrsidea tristicola* n. sp. von *Corvus tristis* und *Myrsidea fuscicapilla* n. sp. von *C. fuscicapillus*.

Summary

The species of *Myrsidea* Waterston (Amblycera: Phthiraptera) from *Corvus tristis* and *Corvus fuscicapillus*.

Phthiraptera of the genus *Myrsidea* Waterston 1915 from *Corvus tristis* from New Guinea, and *Corvus fuscicapillus* from Waigeu and Aru Is. were examined. In addition to the known species *Myrsidea pilosa* (Piaget 1880) from *Corvus tristis* two new species are described and illustrated: *Myrsidea tristicola* n. sp. from *Corvus tristis* and *Myrsidea fuscicapilla* n. sp. from *Corvus fuscicapillus*.

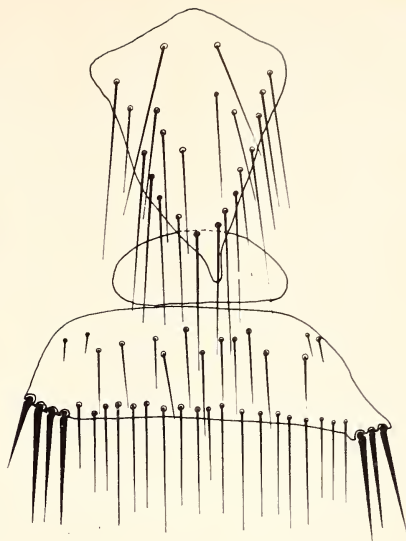


Abb. 13: *Myrsidea* sp. ♂

Abb. 14: *Myrsidea* sp. ♂,

Metasternalplatte u. Abdominalsternite I u. II

0.20 mm

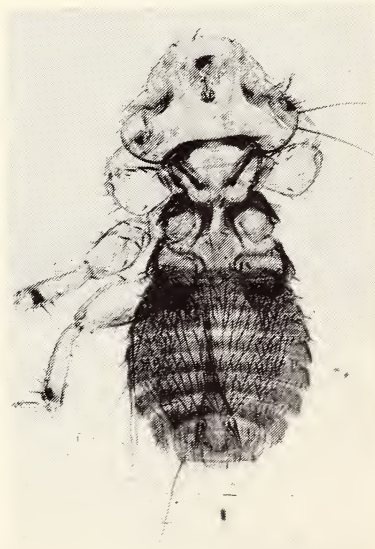
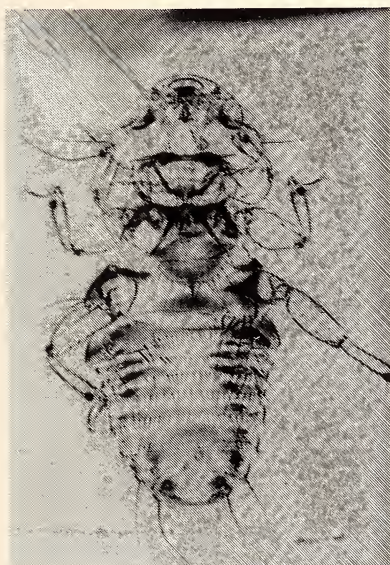


Abb. 15: *Myrsidea fuscicapilla*, Holotypus ♀

Abb. 16: *Myrsidea fuscicapilla* ♂

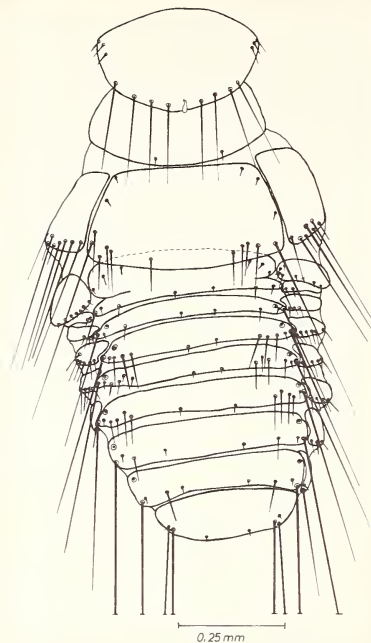


Abb. 17: *Myrsidea fuscicapilla* ♀, Thorax u. Abdomen (dorsal)

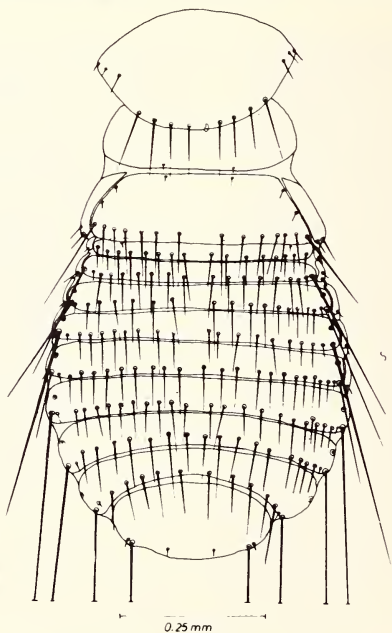


Abb. 18: *Myrsidea fuscicapilla* ♂, Thorax u. Abdomen (dorsal)

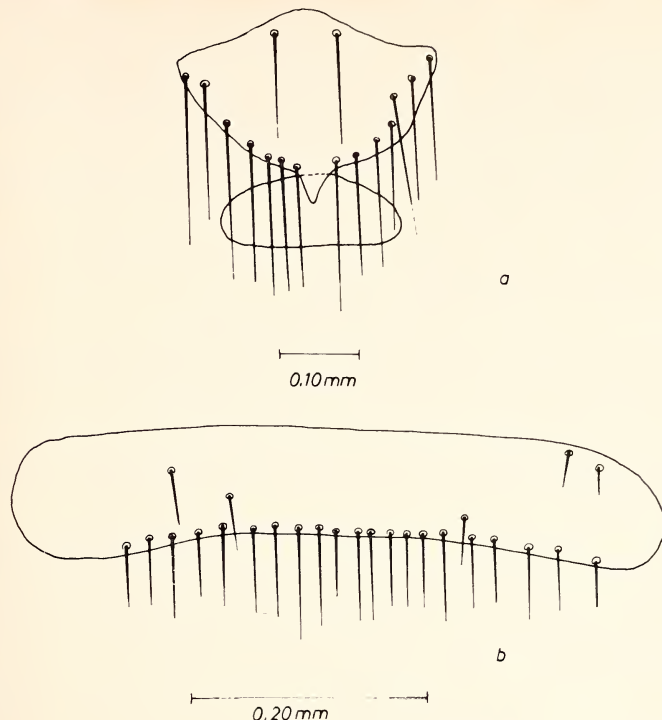


Abb. 19: *Myrsidea fuscicapilla* ♀,
a: Metasternalplatte u. Abdominalsternit I
b: Abdominalsternit II

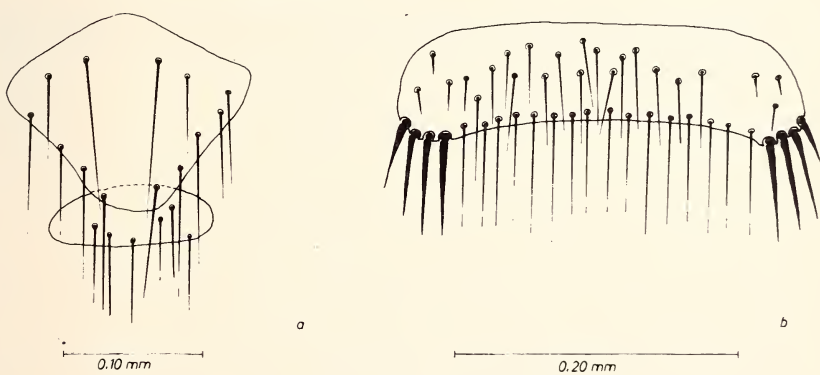


Abb. 20: *Myrsidea fuscicapilla* ♂,
a: Metasternalplatte u. Abdominalsternit I
b: Abdominalsternit II

Literatur

- Clay, T. (1949): Systematic notes on the Piaget collection of Mallophaga. Part I. — Ann. Mag. nat. Hist. Ser. 12, vol. 2: 811—921.
- (1966): Contribution towards a revision of *Myrsidea* Waterston I (Menoponidae: Mallophaga). — Bull. Brit. Mus. (Nat. Hist.) Ent. 17: 329—395.
- Hopkins, G. H. E., and T. Clay (1952): A checklist of the genera and species of Mallophaga. London.
- Klockenhoff, H. (1969): Zur systematischen Aufgliederung der Myrsideen (Gattung: *Myrsidea* Waterston 1915; Menoponidae: Mallophaga) als Parasiten von Unterarten der Dschungelkrähe *Corvus macrorhynchos* Wagler 1827. — Zool. Anz. 183: 379—442.
- (1972): Zur Taxonomie der auf der Salvadorikrähe *Corvus orru* lebenden Mallophagen-Gattung *Myrsidea* Waterston 1915. — Bonn zool. Beitr. 23: 253—266.
- u. G. Schirmers (1976): Zur Taxonomie der Myrsideen (*Myrsidea* Waterston 1915; Menoponidae: Phthiraptera) von *Corvus corax* und *Corvus ruficollis*. — Bonn zool. Beitr. 27: 300—335.
- (1977): *Myrsidea coloiopsis*, n. sp., eine neue Mallophaga-Art von *Corvus monedulaoides*. — Bonn. zool. Beitr. 28: 141—148.
- Mayr, E., and J. G. Greenway (1962): Checklist of the Birds of the World. XV. — Cambridge (Mass.).
- Piaget, E. (1880): Les Pédiculines. Essai monographique. — Leiden.

Anschrift des Verfassers: Dr. Heinrich F. Klockenhoff, Zoologisches Forschungsinstitut und Museum Alexander Koenig, Adenauerallee 150—164, D 5300 Bonn.

ZOBODAT - www.zobodat.at

Zoologisch-Botanische Datenbank/Zoological-Botanical Database

Digitale Literatur/Digital Literature

Zeitschrift/Journal: [Bonn zoological Bulletin - früher Bonner Zoologische Beiträge.](#)

Jahr/Year: 1979

Band/Volume: [30](#)

Autor(en)/Author(s): Klockenhoff Heinrich

Artikel/Article: [Die Myrsidea-Arten \(Amblycera: Phthiraptera\) von Corvus tristis und Corvus fuscicapillus 431-450](#)